

ГРУППОВЫЕ СВОЙСТВА И ИНВАРИАНТНЫЕ РЕШЕНИЯ УРАВНЕНИЯ, ОПИСЫВАЮЩЕГО ДВУМЕРНОЕ ТЕЧЕНИЕ ЛЕДНИКОВ

Ф. Х. Ахмедова, В. А. Чугунов

(Казань)

Одна из самых актуальных проблем современной гляциологии — построение математической теории гляциомеханики, в которой особое место отводится разработке математических моделей ледников.

В проблемах математического моделирования различных процессов четко различаются два разных направления. Первое связано со стремлением построить подробную модель изучаемого процесса, обосновать ее адекватность реальности большим количеством экспериментального материала и использовать затем эту модель для получения обоснованных количественных рекомендаций и применения ее выводов на практике. Другое направление связано с построением спектра точных решений частных моделей, изучение которого позволило бы вскрыть основные особенности процесса с меньшими затратами. Оба направления имеют право на существование, причем результаты второго направления могут быть использованы для обоснования и уточнения подробных математических моделей.

Применительно к гляциомеханике широкое развитие приобрело первое направление в работах [1—6], а второе — пока не имеет столь бурного роста.

Результаты данной работы надо рассматривать как определенный вклад в развитие вышеуказанного второго направления в области математического моделирования динамики ледников. В частности, в работе проводится изучение групповых свойств нелинейного дифференциального уравнения, описывающего положение свободной поверхности ледников, строятся инвариантные решения данного уравнения, а с помощью построенных инвариантных решений исследуются конкретные задачи, возникающие при изучении течения ледников.

Рассматривая нестационарное течение ледника в изотермическом приближении, можно показать, что функция $l(x, y, t)$, описывающая свободную поверхность ледника, удовлетворяет нелинейному дифференциальному уравнению второго порядка в частных производных

$$(1) \quad \frac{\partial l}{\partial t} = \frac{\partial}{\partial x} \left\{ \left[\frac{\partial l}{\partial x} \right] \sqrt{\left(\frac{\partial l}{\partial x} \right)^2 + \left(\frac{\partial l}{\partial y} \right)^2} \right\} \int_{z_0}^l \times \\ \times (l-z) \Gamma \left[(l-z) \sqrt{\left(\frac{\partial l}{\partial x} \right)^2 + \left(\frac{\partial l}{\partial y} \right)^2} \right] dz \Bigg\} + \\ + \frac{\partial}{\partial y} \left\{ \left[\frac{\partial l}{\partial y} \right] \sqrt{\left(\frac{\partial l}{\partial x} \right)^2 + \left(\frac{\partial l}{\partial y} \right)^2} \right\} \int_{z_0}^l (l-z) \Gamma \times \\ \times \left[(l-z) \sqrt{\left(\frac{\partial l}{\partial x} \right)^2 + \left(\frac{\partial l}{\partial y} \right)^2} \right] dz \Bigg\}.$$

Здесь t — время; x, y — пространственные координаты; $z_0(x, y)$ — профиль подледного ложа; $\Gamma(z)$ — функция, характеризующая реологические свойства льда, взятая в степенной зависимости $\Gamma(z) = kz^\alpha$.

Найдя из уравнения (1) и соответствующих граничных условий l , можно определить все другие характеристики течения ледника, в частности скорости по любому направлению, напряжения, возникающие в леднике и т. д. Таким образом, основная задача в теории течения ледников — отыскание вида свободной поверхности l .

Уравнение (1) существенно нелинейно, и его решение в общем случае может быть получено лишь приближенно с помощью численных методов. Отсутствие априорных оценок точности численных методов решения уравнений вида (1) делает необходимым построение их аналитических ре-

шений хотя бы в частных автотомодельных случаях для тестирования на них соответствующих разностных схем. Некоторые из таких решений, полученные на основе группового анализа уравнения (1), представляют и самостоятельный теоретический интерес.

Построение полного спектра инвариантных решений конкретного дифференциального уравнения базируется на его групповых свойствах [7]. Рассмотрим случай, когда $u = l - z_0$, в предположении, что $z_0(x, y)$ — произвольная функция своих аргументов, $\alpha' \geq 1$. Результаты группового анализа уравнения (1) в терминах касательных векторных полей ζ ; локальных однопараметрических групп G_1 , допускаемых этим уравнением, которые определяют базисы алгебр Ли соответствующих инфинитезимальных операторов, представлены в табл. 1, где $\{\zeta_3\}$ соответствует базису ядра основных алгебр Ли; направляющие векторы ζ ; базисных инфинитезимальных операторов X_i , на которые расширяется ядро в зависимости от возможной конкретизации функции $z_0(x, y)$, имеют вид

$$\begin{aligned} \zeta_1 &= (1, 0, 0, 0, 0, 0), \quad \zeta_2 = (0, 1, 0, 0, 0, 0), \quad \zeta_3 = (0, 0, 1, 0, 0, 0), \\ \zeta_4 &= (0, 0, t, -u/(1+2\alpha), -2v/(1+2\alpha), -2w/(1+2\alpha)), \\ \zeta_5 &= (x, y, 0, u(1+\alpha)/(1+2\alpha), v/(1+2\alpha), w/(1+2\alpha)); \end{aligned}$$

инфинитезимальные операторы $X_i = \zeta_i \partial$. Здесь $\partial = (\partial/\partial x, \partial/\partial y, \partial/\partial t, \partial/\partial u, \partial/\partial v, \partial/\partial w)$; v и w — вспомогательные функции:

$$\begin{aligned} v &= u (\partial z_0 / \partial x + \partial u / \partial x) \left[1 + (w/v)^{2\alpha} \right]^{\frac{\alpha-1}{2\alpha}}, \\ w &= u (\partial z_0 / \partial y + \partial u / \partial y) \left[1 + (v/w)^{2\alpha} \right]^{\frac{\alpha-1}{2\alpha}}. \end{aligned}$$

Воспользуемся данными табл. 1 для построения инвариантных решений уравнения (1). Для нахождения соответствующих оптимальных систем инвариантных решений необходимо определить все классы подобных одномерных и двумерных подалгебр и их инварианты. Они сведены в табл. 2. При этом наиболее общим и нетривиальным среди инвариантных решений 2-го ранга является решение $\langle \lambda X_4 + X_5 \rangle$, зависящее от двух произвольных параметров α и λ . Его, как следует из табл. 2, можно искать в виде $I_3 = \varphi(I_1, I_2)$ или

$$(2) \quad u(r, t) = t^{\frac{1+\alpha-\lambda}{\lambda(1+2\alpha)}} \psi(\eta), \quad \eta = r^\lambda/t, \quad r = \sqrt{x^2 + y^2}.$$

Подставляя (2) в (1), приходим к обыкновенному дифференциальному уравнению для функции $\psi(\eta)$:

$$(3) \quad \lambda^{\alpha+1} \eta^{\frac{\lambda-1}{\lambda}} \left(\eta^{\frac{(\lambda-1)\alpha}{\lambda}} \psi^{\alpha+2} \psi' |\psi'|^{\alpha-1} \right)' + \lambda^\alpha \eta^{\frac{\alpha(\lambda-1)-1}{\lambda}} \psi^{\alpha+2} \psi' |\psi'|^{\alpha-1} + \eta \psi' - \frac{1+\alpha-\lambda}{\lambda(2\alpha+1)} \psi = 0.$$

В качестве решений задачи с подвижным «фронтом» должны выбираться лишь те решения уравнения (3), которые удовлетворяют граничному условию $\psi|_{\eta=\eta_0} = 0$ при $\eta_0 \neq 0$. Тогда из (2)

$$(4) \quad r_0 = (\eta_0 t)^{1/\lambda}.$$

Перечислим конкретные решения, которые могут быть найдены таким образом.

Т а б л и ц а 1

| Функция z_0 | Векторы ζ_i |
|--|---|
| Произвольная | $\{\zeta_3\}$ |
| $\frac{\alpha+1-\lambda}{y^{2\alpha+1}} f\left(\frac{x}{y}\right)$ | $\zeta_3, \zeta_4, \zeta_5$ |
| const | $\zeta_1, \zeta_2, \zeta_3, \zeta_4$ |
| 0 | $\zeta_1, \zeta_2, \zeta_3, \zeta_4, \zeta_5$ |

Таблица 2

| Оптимальные подалгебры | Инварианты | Инвариантные решения | Вид локка |
|---|---|---|--|
| $\langle \lambda X_4 + X_5 \rangle$ $\forall \lambda$ | $I_1 = \frac{x}{y}, I_2 = \frac{y^\lambda}{t},$ $I_3 = \frac{t}{\lambda(1+2\alpha)},$ $I_4 = \frac{1-2\lambda}{u^{1+\alpha-\lambda}}, I_5 = \frac{v}{w}$ | 2-го ранга $u = t^{\frac{1+\alpha-\lambda}{\lambda(1+2\alpha)}} \varphi(I_1, I_2);$ $u = t^{\frac{1+\alpha-\lambda}{\lambda(1+2\alpha)}} \psi(\eta)$ ($\eta = r\lambda/t$) | $z_0 = C + y^{\frac{1+\alpha-\lambda}{1+2\alpha}} f(I_1);$ $z_0 = C r^{\frac{1+\alpha-\lambda}{1+2\alpha}}$ ($C = \text{const}$) |
| $\langle \sin \beta X_1 + \cos \beta X_2 \rangle$ $\forall \beta$ | $I_1 = x \cos \beta - y \sin \beta,$ $I_2 = t, I_3 = u, I_4 = v,$ $I_5 = w$ | $u = \varphi(I_1, I_2)$ | $z_0 = \text{const}$ |
| $\langle X_3 \rangle$ | $I_1 = x, I_2 = y, I_3 = u,$ $I_4 = v, I_5 = w$ | $u = \varphi(I_1, I_2)$ | z_0 — произвольная функция |
| $\langle \sin \beta X_1 + \cos \beta X_2 + \gamma X_4 \rangle$ $\forall \beta, \gamma \neq 0$ | $I_1 = x \cos \beta - y \sin \beta,$ $I_2 = \gamma y - \cos \beta \cdot \ln t,$ $I_3 = t u^{1+2\alpha},$ $I_4 = \frac{u^2}{v}, I_5 = \frac{v}{w}$ | $u = t^{\frac{1}{1+2\alpha}} \varphi(I_1, I_2)$ | $z_0 = \text{const}$ |
| $\langle \lambda X_4 + X_5, \sin \beta X_1 + \cos \beta X_2 \rangle$ $\forall \lambda, \beta$ | $I_1 = \frac{(y \sin \beta - x \cos \beta)^\lambda}{t},$ $I_2 = \frac{t}{\lambda(1+2\alpha)},$ $I_3 = \frac{1-2\lambda}{u^{1+\alpha-\lambda}}, I_4 = \frac{v}{w}$ | 1-го ранга $u = t^{\frac{1+\alpha-\lambda}{\lambda(1+2\alpha)}} \varphi(I_1)$ | $z_0 = \text{const}$ |
| $\langle \lambda X_4 + X_5, X_3 \rangle$ $\forall \lambda, \forall \beta$ | $I_1 = \frac{x}{y}, I_2 = \frac{y^\lambda}{\lambda(1+2\alpha)},$ $I_3 = \frac{1-2\lambda}{u^{1+\alpha-\lambda}}, I_4 = \frac{v}{w}$ | $u = y^{\frac{1+\alpha-\lambda}{1+2\alpha}} \varphi(I_1)$ | $z_0 = C + y^{\frac{1+\alpha-\lambda}{1+2\alpha}} f(I_1),$ $C = \text{const}$ |
| $\langle \sin \beta X_1 + \cos \beta X_2, X_3 \rangle$ $\forall \beta$ | $I_1 = x \cos \beta - y \sin \beta,$ $I_2 = u, I_3 = v, I_4 = w$ | $u = \varphi(I_1)$ | $z_0 = \text{const}$ |
| $\langle \sin \beta X_1 + \cos \beta X_2, \sin \beta X_1 + \cos \beta X_2 + \gamma X_4 \rangle$ $\forall \beta, \gamma \neq 0$ | $I_1 = x \cos \beta - y \sin \beta,$ $I_2 = t u^{1+2\alpha},$ $I_3 = \frac{u^2}{v}, I_4 = \frac{v}{w}$ | $u = t^{\frac{1}{1+2\alpha}} \varphi(I_1)$ | $z_0 = \text{const}$ |
| $\langle X_3, \sin \beta X_1 + \cos \beta X_2 + \gamma X_4 \rangle$ $\forall \beta, \gamma \neq 0$ | $I_1 = x \cos \beta - y \sin \beta,$ $I_2 = \gamma y + \cos \beta \cdot (1 + 2\alpha) \cdot \ln u,$ $I_3 = \frac{u^2}{v}, I_4 = \frac{v}{w}$ | $u = e^{\frac{\gamma y}{(1+2\alpha) \cos \beta}} \varphi(I_1)$ | $z_0 = \text{const}$ |

Решение 1. Плосколинейное растекание ледника на горизонтальном ложе. Положив в (2)–(4) $\lambda = 3\alpha + 2$, получим аналогичную задачу, которая рассмотрена в [8].

Решение 2. Радиальное растекание ледника на горизонтальном ложе. Пусть в начальный момент вся масса льда сосредоточена в точке $\eta = 0$, затем происходит растекание. В этом случае к уравнению (3) добавляются условия

$$u|_{t=0} = \delta(\eta), \quad \psi|_{\eta=\eta_0} = Q|_{\eta=\eta_0} = Q|_{\eta=0} = 0, \quad \int_0^{\eta_0} \eta \psi(\eta) d\eta = 1,$$

где $\delta(\eta)$ — функция Дирака; $Q = \psi^{\alpha+2} \psi' |\psi'|^{\alpha-1}$ — сток массы льда на границах ледника. Последнее из них (условие постоянства массы) дает $\lambda = 5\alpha + 3$. Функция $\psi(\eta)$ и константа η_0 определяются из (3) с учетом граничных условий. В итоге находим

$$u(r, t) = t^{-\frac{2}{5\alpha+3}} \left[\frac{2\alpha+1}{(5\alpha+3)^{1/\alpha} (\alpha+1)} \right]^{\frac{\alpha}{2\alpha+1}} \times \\ \times \left(\frac{\alpha+1}{\eta_0^{\alpha(5\alpha+3)}} - \eta^{\frac{\alpha+1}{\alpha(5\alpha+3)}} \right)^{\frac{\alpha}{2\alpha+1}}, \\ \eta = r^{5\alpha+3}/t, \quad r_0 = (\eta_0 t)^{1/(5\alpha+3)}, \quad \eta_0 > 0.$$

Для ледника единичного объема

$$\eta_0 = \left\{ \left[\frac{\alpha+1}{(2\alpha+1)(5\alpha+3)^2} \right]^{\frac{\alpha}{2\alpha+1}} \left[\frac{\alpha+1}{\alpha B \left(\frac{2\alpha(5\alpha+3)}{\alpha+1}, \frac{3\alpha+1}{2\alpha+1} \right)} \right] \right\}^{\frac{(5\alpha+3)(2\alpha+1)}{20\alpha^2+23\alpha+7}}$$

($B(x, y)$ — бета-функция).

Пусть $l(r, t)$ — решение. Как показано в задаче [9] о растекании ледника с любым начальным распределением и при больших значениях t , оно будет стремиться к $u(r, t)$, т. е.

$$l(r, t) = u(r, t) + o\left(t^{-\frac{2}{5\alpha+3}}\right).$$

Таким образом, найденное решение дает не только качественную картину растекания ледника, но и позволяет судить о поведении ледников при больших значениях времени.

Решение 3. Радиальное растекание ледника на ложе $z_0 = r^{-2}$. Из (2)–(4) при $\lambda = 5\alpha + 3$ и бюджете массы льда

$$F = t^{-\frac{5(\alpha+1)}{5\alpha+3}} \eta^{\frac{5\alpha+1}{5\alpha+3}} f(\eta)$$

($f(\eta)$ — функция, зависящая от инварианта η) следует

$$u(r, t) = t^{-\frac{2}{5\alpha+3}} \left[\psi(\eta) + \eta^{-\frac{2}{5\alpha+3}} \right], \quad \eta = r^{5\alpha+3}/t, \\ r_0 = (\eta_0 t)^{\frac{1}{5\alpha+3}}, \quad r_1 = (\eta_1 t)^{\frac{1}{5\alpha+3}}, \quad \eta_0 > 0.$$

Функция $\psi(\eta)$ и константы η_0, η_1 при заданных f и α определяются из уравнения (3) с краевыми условиями

$$\eta_0|_{t=0} = \eta_1|_{t=0} = \psi|_{\eta=\eta_0} = \psi|_{\eta=\eta_1} = Q|_{\eta=\eta_0} = Q|_{\eta=\eta_1} = 0, \\ Q = \psi^{\alpha+2} \psi' |\psi'|^{\alpha-1}.$$

Данное решение интересно тем, что позволяет предсказать форму ледника, сползающего с горного склона при заданном бюджете массы льда.

Решение 4. Модель ледника с неподвижной границей (плоско-линейное затекание). Пусть в начальный момент свободная поверхность описывается уравнением

$$l|_{t=0} = \begin{cases} k(-x)^{\frac{\alpha+1}{2\alpha+1}}, & x \leq 0, \\ 0, & x > 0. \end{cases}$$

Причем при $x = 0$ $l = 0$, $Q = 0$. Решение ищем в виде $\langle X_3 + \lambda X_4 \rangle$ [8] при $\lambda = -2$, $z_0 = 0$, тогда

$$(5) \quad l(x, t) = (t_0 - t)^{-\frac{1}{2\alpha+1}} B (-x)^{\frac{\alpha+1}{2\alpha+1}},$$

$$t_0 = (B/k)^{2\alpha+1}, \quad B = \left[\frac{(2\alpha+1)(3\alpha+2)}{\alpha+1} \right]^{\frac{\alpha(4\alpha+3)}{(3\alpha+2)^2}} / (3\alpha+2)^{\frac{\alpha+1}{3\alpha+2}}.$$

Решение 5. Модель ледника с неподвижной границей (радиальное затекание). Эта модель подобна предыдущей. Из (2)–(4) при $z_0 = 0$, $\eta^{1/\lambda} = r/t^{1/\lambda}$, $\lambda \rightarrow \infty$ находим точное решение для определения свободной поверхности ледника

$$(6) \quad l(r, t) = (t_0 - t)^{-\frac{1}{2\alpha+1}} \frac{\alpha+1}{2\alpha+1} \left[\frac{2\alpha+1}{(\alpha+1)(5\alpha+3)^{1/\alpha}} \right]^{\frac{\alpha}{2\alpha+1}}.$$

Полученные решения (5), (6) интересны тем, что позволяют предсказать существование такой формы ледника, при которой в течение некоторого времени край ледника будет неподвижным и начнет двигаться только после соответствующей перестройки профиля.

Решение 6. Задача о леднике, находящемся в стационарном состоянии на ложе $z_0 = (r \cos \varphi)^{\frac{\alpha-1}{2(\alpha+1)}} \left(\varphi = \text{arctg} \frac{x}{y}, r = \sqrt{x^2 + y^2} \right)$. Обратимся снова к табл. 2. Наиболее общим и нетривиальным среди инвариантных решений первого ранга является решение $\langle \lambda X_4 + X_5, X_3 \rangle$, зависящее от двух произвольных параметров α и λ . Его, как следует из табл. 2, можно искать в виде

$$(7) \quad u = y^{\frac{1+\alpha-\lambda}{1+2\alpha}} \varphi(\eta) = (r \sin \varphi)^{\frac{1+\alpha-\lambda}{1+2\alpha}} \psi(\eta),$$

$$\eta = \frac{x}{y} = \text{ctg} \varphi, \quad r = \sqrt{x^2 + y^2}.$$

Подставляя (7) в уравнение (1) для определения функции $\psi(\eta)$ при $\lambda = (3 + 5\alpha)/[2(\alpha + 1)]$, получим аналог уравнения (3)

$$(8) \quad \left\{ \psi^{\alpha+2} \left[(\psi' + f')^2 + \left(\frac{\alpha-1}{2(\alpha+1)} (\psi + f) - \eta (\psi' + f') \right)^2 \right]^{\frac{\alpha-1}{2}} \times \right. \\ \left. \times \left[(\psi' + f') - \eta \left(\frac{\alpha-1}{2(\alpha+1)} (\psi + f) - \eta (\psi' + f') \right) \right] \right\}' = 0.$$

Здесь $\psi(\eta)$ и $f(\eta)$ — функции, зависящие только от инварианта η ; $F = f(\eta)$ — бюджет массы льда. Функция $\psi(\eta)$ и константы η_0 , η_1 при заданных ψ_0 , $f(\eta)$ определяются из уравнения (8) с граничными условиями

$$\psi|_{\eta=\eta_1} = Q|_{\eta=\eta_0} = Q|_{\eta=\eta_1} = 0,$$

где

$$Q = \psi^{\alpha+2} \left[(\psi' + f')^2 + \left(\frac{\alpha-1}{2(\alpha+1)} (\psi + f) - \eta (\psi' + f') \right)^2 \right]^{\frac{\alpha-1}{2}} \times \\ \times \left[\eta \left(\frac{\alpha-1}{2(\alpha+1)} (\psi + f) - \eta (\psi' + f') \right) - (\psi' + f') \right].$$

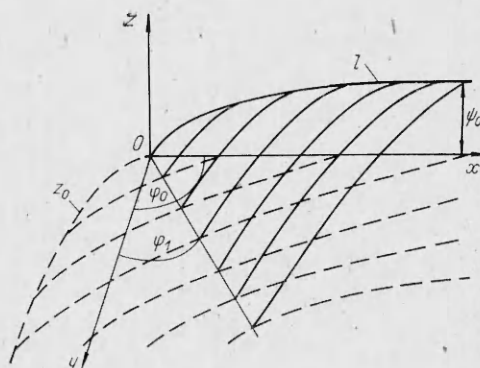
Решение поставленной задачи легко находится в замкнутой форме

$$l = r^{\frac{\alpha-1}{2(\alpha+1)}} \psi_0, \quad \psi_0 < 1,$$

$$f(\eta) = \eta^{\frac{\alpha-1}{2(\alpha+1)}},$$

$$\eta_0 = \operatorname{ctg} \varphi_0, \quad \eta_1 = \operatorname{ctg} \varphi_1,$$

$$\varphi_0 \leq \frac{\pi}{2}, \quad \varphi_1 = \arccos \left[\frac{2(\alpha+1)}{\alpha-1} \right].$$



На рисунке сплошными линиями показана поверхность ледника, штриховыми — ложе ледника.

Представляет интерес нахождение решения для существенно двумерных задач со сложным ложем. Была сделана попытка построения его на ложе $z_0 = x^2/y^4 + \text{const}/y^2$. Однако подобные задачи не являются тривиальными, при решении их встречаются определенные трудности. Поэтому существенно двумерные задачи со сложным ложем заслуживают особого внимания.

ЛИТЕРАТУРА

1. Григорян С. С., Шумский П. А. Простейшая математическая модель трехмерного нестационарного ледника. — В сб.: Научные труды Ин-та механики МГУ. М.: Изд-во МГУ, 1975, № 42.
2. Григорян С. С., Красс М. С., Шумский П. А. Математические модели основных типов ледников. — В сб.: Механика ледников. М.: Изд-во МГУ, 1977.
3. Шумский П. А. Динамическая гляциология. — Итоги науки и техники. Сер. География. Гидрология суши. Гляциология. М.: ВИНТИ, 1969.
4. Красс М. С. Математические модели и численное моделирование в гляциологии. — М.: Изд-во МГУ, 1981.
5. Вербицкий М. Я. Численное моделирование эволюции покровного оледенения. — ДАН СССР, 1981, т. 256, № 6.
6. Саламатин А. Н. Анализ простейших математических моделей куполовидных ледников. — В кн.: Исследования по прикладной математике. Казань: Казан. ун-т, 1979, вып. 7.
7. Овсянников Л. В. Групповой анализ дифференциальных уравнений. — М.: Наука, 1978.
8. Чугунов В. А. О групповых свойствах уравнения, описывающего течение ледников. — Изв. вузов. Математика, 1982, № 10.
9. Камин S. Continuous groups of transformations of differential equations: applications to free boundary problems. — In: Free Boundary Probl.: Proc. Semin., Pavia, 1979. Roma, 1980, v. 2.

Поступила 5/VII 1985 г.

УДК 533.6.011.8

МАКРОСКОПИЧЕСКАЯ ТЕОРИЯ ЭВОЛЮЦИИ ЖИДКИХ КАПЕЛЬ В СОБСТВЕННОМ ПАРЕ

А. Л. Иткин

(Москва)

При изучении многих процессов в метеорологии, физической химии, газовой динамике возникает необходимость определить скорость конденсационного роста или испарения жидких капель. В настоящее время экспериментальное изучение такой величины затруднено, особенно для малых капель, состоящих из нескольких тысяч молекул. Существующие теоретические методы [1—3] позволяют вычислить скорость роста сферических капель при некоторых специальных ограничениях, накладываемых на характер изучаемого процесса. К сожалению, ни в одной из указанных работ авторы не анализируют влияние сделанных ими предположений на окончательный результат.

В настоящей работе решена задача об определении скорости роста сферических капель, находящихся в среде собственного пара. Особое внимание уделено выяснению